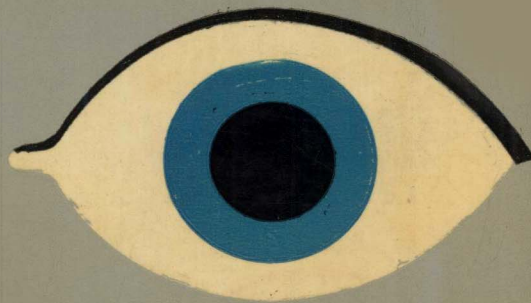


DANGDAI YANKE LUNWENXUAN

当代眼科论文选

第一集

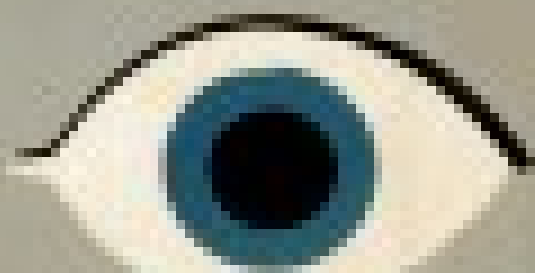


LUNWENXUAN

Contemporary Eye Science and Technology

当代眼科论文选

第一集



Contemporary Eye Science and Technology

当代眼科论文选

主编 程 康

中国国际广播出版社

1993 · 北京

当代眼科论文选(第一集)

程 康 主编

*

中国国际广播出版社出版发行

(北京复兴门外电影电视部内)

浙江良渚印刷厂印刷

*

开本787×1092 1/32 印张8.375 字数230千

1993年6月第1版 1993年6月第1次印刷

印数：0001—3000册

ISBN 7-5078-0179-9/G·116

定 价：9.97 元

《当代眼科论文选》各地编委名单

(排列不分先后)

杨景存 童蟾素 徐珊琪 陈大本 王映芬
李静秋 陈振谦 梁晓庆 马秀娟 赖家善
路凤青 阮文华 程 康 鲁本麟 黄 剑
考 验 王成业

序

在当今世界科学技术迅速发展的时代，眼科学界自然也不例外，特别是近些年来，眼科学领域的新观点、新理论、新技术层出不穷。我国是个大国，在整个科技界，可谓是人才济济，硕果累累，眼科领域和其他学科一样，有很多新的科研成果和论述佳作有待发表。然而就目前来说，我国的科技书刊出版工作，尚不能满足“两者”（广大读者和作者）日益增长的需求，不论是在数量上和质量方面，都还有相当差距。《当代眼科论文选》的问世，在某种程度上缩小了这一差距，为从事眼科研究、教学和临床工作的同道们以及眼科新秀们，又多开辟了一个发表论文和阐述观点的园地，并且能以及时的与广大读者见面。无疑，这将为促进我国眼科事业更进一步地蓬勃发展，作出积极的贡献。

本书涉及的内容极为广泛，有临床研究、实验研究和调查研究等方面的论述，也有新技术、新疗法的探讨和介绍等等，而且这些都是新近佳作，内容新颖，丰富多彩，实为一部难得的新的大型参考书。

本书的问世，是我眼科学界一大幸事，希望在第一集与读者见面之后，后续诸集能够相继逐年出版，以飨读者，更慰作者，两全其美，诚属所望。

河南医科大学眼科教授 杨景存

1993年3月22日

目 录

- 先天性眼球震颤的眼震图研究 刘春民等 (1)
人工晶体免疫原性研究 陈大本等 (10)
免疫疗法治疗色素膜炎的对比 余振标 (15)
高三尖杉酯碱、血栓通对人翼状胬肉成纤维细胞的抑制作用 王映芬等 (21)
 TXB_2 、 $6-K-PGF_{1\alpha}$ 和 PGE_2 在实验性超敏性角结膜炎房水中含量的动态观察 马 莉等 (25)
地卡因滴眼麻醉最佳用量的探讨 蔡灵德 (28)
140例儿童眼外伤临床分析 徐珊琪等 (33)
硫酸小诺霉素滴眼液对临床分离菌 MIC、MBC 值测定报告 高殿文等 (36)
JeuSen病的临床表现及诊断 童蟾素 (40)
眼球钝挫伤的临床分析 马秀娟 (44)
传统的白内障手术方法与复明的回顾 赖家善 (48)
下斜肌保留切除术矫正垂直偏斜的研究 陈美玲等 (53)
辩证治疗高血压症视网膜动脉硬化眼底出血
 23例 梁晓庆 (58)
近视复明片治疗青少年近视临床研究 阮开义等 (62)
TNT性晶体混浊十年动态观察 涂 鑫 (67)
中西医结合治疗视网膜静脉周围炎体会 路凤青 (69)

新型辐辏近点调节近点测定仪准确性论证	胡隆基等 (72)
无环鸟苷与硫酸锌联合应用治疗病毒角膜炎	李静秋等 (76)
戴近视散光镜之我见	王建华 (78)
注光试验在眼科临床上的应用	刘文治 (81)
后房型人工晶体植入119眼临床分析	徐珊琪等 (83)
原发性青光眼病因病理新探讨	黄世荣 (86)
人工晶体植入术后角膜散光的动态观察	徐善卿 (89)
应用射光弱视治疗仪与同视机治疗斜视弱视	权泰根等 (93)
高龄老人后房型人工晶体植入106例分析	郑进招等 (95)
现代显微技术在青光眼小梁切除术中的应用	李林新等 (99)
白内障囊外摘出术的并发症及其预防体会	谭正忠等 (103)
湘西地区近六年大中专六万考生近视眼情况报告	何梅生等 (106)
抗青光眼手术新方法	马素琴等 (109)
牡丹江市42270名中小学生视力调查	李静秋等 (112)
高考体检生3911人视力及屈光状态调查	马道源等 (114)
广东粤北地区1948例屈光不正病例分析	朱茂能等 (117)
玻璃体注气治疗黄斑裂孔视网膜脱离	童培素等 (124)
异体巩膜作巩膜内填充治疗视网膜脱离	

.....	朱天禄 (127)
594例儿童睑阵挛的临床病因、病理分析	孙先桃等 (129)
高压氧治疗中心性浆液性脉络膜视网膜病 变疗效观察	孙厚壮等 (131)
针孔前房穿刺在高眼压状态下施滤过性手 术中的应用	朱凤岐 (135)
B型超声诊断眼眶内血管瘤 3例	许文英等 (137)
视乳头巨大毛细血管瘤合并视网膜脱离病因 分析	樊飞虎等 (139)
平阳霉素局部注射治疗眼部血管瘤	杜学礼等 (142)
先天性泪囊瘘手术治疗新方法	王清扬 (145)
翼状胬肉与屈光状态关系初步报告	戴达厉 (147)
152例眼部肿瘤的临床诊疗分析	周大海 (152)
眼外伤110例临床分析	郑永福等 (155)
眼内金属异物23例治疗体会	张业坚 (158)
巩膜内隧道术治疗闭角型青光眼的初步观察	张世元等 (161)
中药血栓通针剂在眼外伤的应用	陶天钦 (163)
斑蝥治疗单疱角膜炎的疗效观察	陈正银 (165)
谈泡性结膜炎证治	钟渠 (168)
放射状角膜切开术	吴宝富 (170)
激光切除鼻翼血管瘤致盲一例	张其英等 (173)
下鼻甲注射在眼底病治疗中的应用	骆沙鸣 (174)
后房型人工晶体植入20例临床分析	张友胜等 (178)
复方丹参注射液治疗妊高征突发性失明二例	张书文等 (182)

- 中西医结合治疗暴盲 8 例临床观察 邹怀智 (184)
·68例小视野手术疗效观察 荆瑞珍等 (187)
对急闭型青光眼紧急处理及药物降压实践
的总结 崔明华 (190)
巩膜下周边虹膜切除术 许先捷等 (193)
翼状胬肉切除结膜瓣移植加角巩缘烧灼的
疗效分析 马 炯 (196)
巩膜瓣下巩膜条嵌置治疗难治性青光眼疗效
观察 郭亚芳 (198)
聚肌胞治疗病毒性角膜炎的临床观察 张玉芬等 (201)
介绍一种翼状胬肉新术式 马行健 (203)
门诊开展白内障手术可行性探讨 朱润祥 (206)
论单眼复视与彩视症 郭凤琴等 (210)
先天性内直肌麻痹合并双眼同时外转 潘以方等 (213)
环扎术治疗眼睑海绵状血管瘤临床疗效观
察 赵海凌 (215)
从三例特殊的泪囊鼻腔吻合术谈此手术的适
应症 王 琦 (217)
眶内神经母细胞瘤一例报告 王清扬等 (221)
雀盲夜明散治疗视网膜色素变性疗效观察
..... 张 明 (223)
双泪腺脱垂切除 1 例 徐美玲 (228)
强的松龙治疗翼状胬肉 李和平 (229)
全身疾病与眼底会诊 雷 濬 (231)
青光眼术后观察及并发症的中西医结合疗法
..... 邵新香 (233)
青光眼滤过术联合 5—氟尿嘧啶结膜下注射

- 的临床研究 王意兰等 (235)
近视眼前房深度、晶体厚度及视轴长度的超声测量 江诗安等 (238)
婴儿睑缘炎与微量元素的关系 张陆红等 (241)
异形图形儿童视力表有关问题探讨 谢治国等 (244)
先天性无虹膜的眼部特征 王为农等 (250)
小儿硝氯酚中毒四例报告 考验 (254)

先天性眼球震颤的眼震图研究

刘春民 杨景存

先天性眼球震颤(Congenital nystagmus, CN)的眼震图(electronystagmogram, ENG)研究国内尚未见报道,本文就110例CN的ENG进行了较为深入的探讨。

资料与方法

一、研究对象

本组CN病例共110例,男,83例(75.45%),女,27例(24.55%);就诊年龄,学龄前儿童10例(9.09%),7—19岁者74例(67.27%),20岁以上就诊者26例(23.64%),年龄最小者3岁,最大者40岁,平均年龄16岁;110例CN220只眼视力(VA),0.1以下者3眼(1.36%),0.1者45眼(20.46%),0.2—0.4者59眼(26.82%),0.4—0.6者35眼(15.91%),0.6—1.0者46眼(20.91%),≥1.0者30眼(13.63%)。一例3岁幼儿检查视力不能配合,无法测定。

二、仪器与方法

(1) 使用仪器:为日本光电株式会社生产的AC Neuropack Four Mini电生理仪,EOG程序,带通1—25Hz。(2) 电极放置:采用标准EEG银质盘状皮肤电极,双眼内、外眦部及前额正中部皮肤上放置电极检查水平眼震,双眼上下脸正中及前额正中部皮肤上放置电极检查垂直性眼震,必要时两种方法联用。(3) 检查项目:a)描记正前方(即0°位)、左右侧或上下方不同角度(5°、10°、15°、20°,必要时25°及以外)的ENG,视标距离33cm;b)描记正前方不同距离的ENG,远视标置于3m同眼高处,近视标置于33cm同眼高处;c)描记明亮条件下及黑暗中睁、闭眼时的ENG;d)对比双眼

注视和单眼注视(另眼被遮盖)时的ENG。

结 果

1. 震颤方向及性质

采用水平加垂直电极放置法对110例CN描记的ENG表明, 水平性震颤108例(98.18%), 垂直性2例(1.82%), 共轭性震颤107例(97.27%), 非共轭性(且均为水平性)3例(2.73%)。水平性或垂直性CN, 当双眼向任一眼位注视时, 其震颤方向不变。眼震不因双眼抑或单眼注视而有任何变化。

2. 震颤波形

根据110例CN的ENG的不同特点, 分类命名了13种波形(图1)。

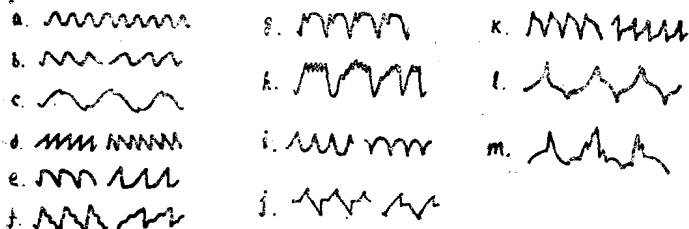


图1 CN波形(单种波)种类

(a)单纯钟摆波, (b)跳动型钟摆波, (c)凹视钟摆波, (d)单纯跳动波,
(e)凹视顿跳波, (f)双重波, (g)二联跳动波, (h)多联跳动波, (i)U形
/反U形波, (j)双向跳动波, (k)凹视急跳波, (l)锥形波, (m)融合波

就正前方注视位出现的波形见表1。

3. 震颤波形与视力的关系

以0.6作为视力较好或较差的分界值, 表示视力较好的波形有凹视顿跳波(即中心凹注视时间较长的跳动波)、凹视急跳波(即有较短中心凹扫视的跳动波)及二联跳动波; 表示视力较差的波形有单纯钟

表1 110例CN正前方注视位波形

波形名称	例数	%
单纯跳动波	14	12.73
跳动型钟摆波	8	7.27
单纯跳动波	17	15.45
凹视顿跳波	16	14.54
双重波	2	1.82
双向跳动波	1	0.92
二联跳动波	1	0.92
多联跳动波	1	0.92
凹视急跳波	2	1.82
反U形波	1	0.92
复合波	38	34.54
零带	9	8.18
合 计	110	100

摆波、单纯跳动波、双重波、多联跳动波及反U形波；跳动型钟摆波（即肉眼观察为跳动型，而ENG显示为不对称的正弦曲线波）约有 $1/2VA \geq 0.6$ ，另一半 $VA < 0.6$ 。复合波者视力大部分较差。四种较常见的单种波形中，视力较好者为跳动型钟摆波和凹视顿跳波（二者间无差别， X^2 检验， $P > 0.1$ ），而单纯钟摆波视力则较差，单纯跳动波视力居于单纯钟摆波与凹视顿跳波或跳动型钟摆波之间（ X^2 检验， $P \leq 0.05$ ）。

4. 震颤与注视角度的关系

当CN患者注视不同方位的视标时，其震频(frequency, F)、振幅(amplitude, A)、震强(intensity, I)及波形随之发生改变(表2、表3)。

5. 震颤、注视距离及视力三者之间的关系(表4)

6. 环境明暗变化对眼震的影响(表5、6、7)

7. 震频及振幅的分布(表8)

表2 眩颤与注视方位的关系

观察项目		例数	%
快相同注视方向	跳动型	41	37.27
	钟摆型*	35	31.82
各方位快相一致的跳动型		23	20.91
正前方及左侧跳动型，快相向左		1	0.91
仅一侧跳动型，快相同注视方向		5	4.55
快相与注视方向相反的跳动型		2	1.82
快相与注视方向无一定关系的跳动型		3	2.72
合	计	110	100

* 左右各20°范围(二例垂直性钟摆在上、下方各20°范围)内注视时波形基本不变，当注视25°以外固定目标时渐变为跳动型。

表3 108例水平性CN注视方位与F、A及I的变化

分析项目		例数	%
双眼F、A、I与注视方位无一定关系		68	62.96
内转眼A减低，外转眼A增加，双眼F、I多变		11	10.19
外转眼A增加，F减少，I基本不变*		10	9.26
外转眼A增加，F增高，I增强*		17	16.74
外转眼A减低，F增高，I不变*		2	1.85
合	计	108	100

* 其内转眼与注视方位无一定关系。

表4 95例CN由远(3m)及近(33cm)注视, F.A & I与VA的变化

视力	F			A			I			合计		
	增加	减低	不变	合计	增加	减低	不变	合计	增加			
增加	7 (7.37)	20 (21.05)	14 (14.74)	41 (43.16)	10 (10.53)	25 (26.32)	6 (43.16)	41 (43.16)	8 (8.42)	27 (28.42)	6 (6.32)	41 (43.16)
降低	2 (2.11)	6 (6.32)	7 (7.37)	15 (15.79)	8 (8.42)	4 (4.21)	3 (3.16)	15 (15.79)	6 (6.32)	3 (3.16)	3 (6.32)	15 (15.79)
不变	4 (4.21)	10 (10.53)	25 (26.32)	39 (41.05)	6 (6.32)	14 (14.74)	19 (20.00)	39 (41.05)	6 (6.32)	16 (16.84)	17 (17.89)	39 (41.05)
合计	13 (13.69)	36 (37.89)	46 (48.42)	100 (100)	95 (25.27)	24 (45.26)	28 (29.47)	95 (100)	20 (21.05)	46 (48.42)	29 (30.53)	95 (100)

表5 明(暗)环境下93例CN闭眼后震颤变化情况

观测项目	例数	%
震颤消失	78	83.871
快相与睁眼视时相反	5	5.376
波形基本不变	5	5.376
波形无规律性	5	5.376
合 计	93	100

表6 环境由明变暗时震颤变化情况(睁眼视)

观测项目	例数	%
震颤消失	35	35.0
F减低, A增加, I不变	20	20.0
F不变, A增加, I增加	10	10.0
快相与明视下反向	11	11.0
波形基本不变	10	10.0
波形无规律	14	14.0
合 计	100	100

表7 暗环境中闭眼与睁眼震颤消失率的比较

观察项目	受检人数	震颤消失例数	消失百分率	X ² 检验
闭 眼	93	78	83.871	P<0.005
睁 眼	100	35	35.000	

表8 110例CN的F、A值分布

分 组	F(次/分)		A(μV)	
	n	%	n	%
<100	102	9.86	1170	57.46
101~200	462	44.64	632	31.04
201~300	389	37.58	140	6.88
≥301	82	7.92	94	4.62
合 计	1035	100	2036	100